

## بررسی ظرفیت باربری پی‌های سطحی مجاور شیب‌های ماسه‌ای با مدل آزمایشگاهی

علی عطارزاده\*، علی قنبری، امیر حمیدی؛

دانشگاه خوارزمی، دانشکده فنی مهندسی، گروه عمران

پذیرش ۹۲/۱۲/۱۹

تاریخ دریافت: ۹۲/۸/۱

### چکیده

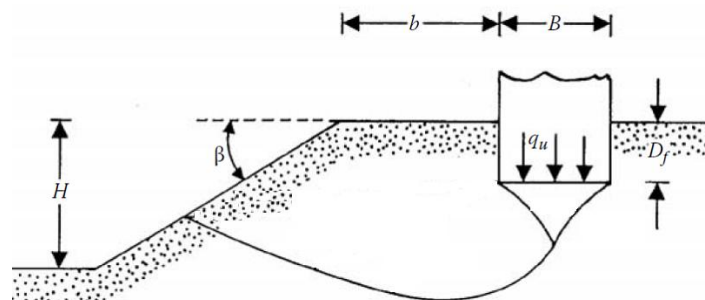
هدف از این مقاله ارائه رابطه‌ای جدید برای محاسبه ضریب ظرفیت باربری پی‌های مستطیلی واقع بر نزدیکی شیب برای شرایط این تحقیق است. در این راستا در قالب بررسی آزمایشگاهی مدلی از شیب ماسه‌ای درون جعبه فولادی ساخته شده و پی مستطیلی روی آن قرار گرفته است. پس از بارگذاری با دستگاه سه‌محوری، مقدار بار اعمال شده و تغییر مکان پی ثبت شده و منحنی تنش-نشست رسم شده است. بر این اساس ظرفیت باربری نهایی پی تعیین شده است. ماسه استفاده شده در این تحقیق ماسه بابل‌ساز است و در تمام آزمایش‌ها دانسیته نسبی ۵۰٪ است. بر اساس نتایج حاصل، تأثیر فاصله پی تا لبه شیب و نیز زاویه شیب بر ظرفیت باربری نهایی پی بررسی شده و در باره روند تغییرات آن با پارامترهای مختلف بحث شده است. نتایج این تحقیق حاکی از آن است که با افزایش فاصله لبه پی از شیب، ظرفیت باربری به صورت خطی افزایش می‌یابد. همچنین با افزایش زاویه شیب، ظرفیت باربری به صورت خطی کاهش پیدا کرده است. در نهایت رابطه‌ای جدید برای برآورد ضریب ظرفیت باربری پی‌های سطحی در مجاورت شیب برای ماسه با تراکم ۵۰٪ و شرایط این تحقیق ارائه شده است.

واژه‌های کلیدی: ظرفیت باربری، پی مستطیلی، اثر شیب، پی مجاور شیب، ماسه.

\* نویسنده مسئول [ali\\_attarzadeh1987@yahoo.com](mailto:ali_attarzadeh1987@yahoo.com)

## مقدمه

یکی از شرایط یا حالت‌های مؤثر بر ظرفیت باربری پی، اتکا پی بر زمین شیب‌دار یا قرارگیری شیب در فاصله مؤثر از پی است. قرارگیری پی در مجاورت شیب تأثیر چشم‌گیری بر ظرفیت باربری داشته و موقعیت گوه گسیختگی را تغییر می‌دهد. در حالت پی در مجاورت شیب، دو پارامتر فاصله پی از لبه شیب و زاویه شیب در کاهش ظرفیت باربری پی، در برابر عوامل دیگر تأثیر چشم‌گیری دارند. اگر فاصله لبه شیب تا پی از مقدار مشخصی بیشتر باشد دیگر شیب اثری بر ظرفیت باربری نداشته است و ظرفیت باربری مانند پی روی زمین افقی محاسبه می‌شود. در شکل ۱ شکل شماتیکی از پی در مجاورت شیب نشان داده شده است.



شکل ۱. شکل شماتیک پی در مجاورت شیب

امروزه روش معمول در تعیین ظرفیت باربری پی‌های سطحی، استفاده از ضرایب تجربی در معادلات ظرفیت باربری پی است که محققان برجسته‌ای مانند ترزاقی (۱۹۴۳)، مایرهوف (۱۹۶۳)، هانسن (۱۹۷۰)، وسیک (۱۹۷۳)، ساران و همکاران (۱۹۸۹) ارائه شده است. این روش‌ها به دلیل تجربی بودن ضریب‌ها (اعم از ضریب‌های شکل پی، عمق پی، شیب بار و شیب زمین) تقریب زیادی دارند. این تقریب در بسیاری از موارد اقتصادی بودن طرح را تحت تأثیر قرار داده و گاهی اوقات ممکن است حاشیه ایمنی مورد نیاز را تأمین نکند.

بررسی ظرفیت باربری پی‌های سطحی در گذشته به صورت گسترده، به روش‌های عددی و تحلیلی انجام شده و روش‌های حل متعددی در این زمینه ارائه شده است. تحلیل ظرفیت باربری پی‌های سطحی در مجاورت شیب به عوامل مختلفی بستگی دارد و ارائه تحلیلی که همه پارامترها در آن لحاظ شده باشد کار مشکلی است. با توجه به تأثیر پارامترهای مختلف در

ظرفیت باربری پی‌های سطحی و مشکلات موجود در زمینه استفاده از روش‌های حل تحلیلی و عددی، اهمیت تحقیقات انجام شده با استفاده از مدل‌سازی آزمایشگاهی در این زمینه روشن می‌شود. در این بین استفاده از روش‌های تجربی شامل ساخت مدل‌های واقعی یا مدل‌های با مقیاس کوچک، محققان مختلف مناسب‌ترین راه را برای بررسی صحت و میزان دقت نتایج روش‌ها و تئوری‌ها، ارائه کردند. از طرف دیگر عدم قطعیت در نوع و مقدار پارامترهای دخیل در روش‌های تحلیلی و عددی همواره محققان را به سوی استفاده از مدل‌سازی فیزیکی پدیده‌های مختلف سوق داده است. در مورد بررسی‌های آزمایشگاهی محققان پیشین، می‌توان به پژوهش‌های که بیت‌اوقلو<sup>۱</sup> (۱۹۹۴)، چول‌شین<sup>۲</sup> و داس<sup>۳</sup> (۱۹۹۸)، یو<sup>۴</sup> (۲۰۰۱)، مصطفی<sup>۵</sup> و ساواف<sup>۶</sup> (۲۰۰۷)، برنس‌بای<sup>۷</sup> و دیویدسون<sup>۸</sup> (۲۰۰۸)، شودهاری<sup>۹</sup> و همکاران (۲۰۰۹)، علم‌شاهی و هاتف (۲۰۰۹)، بهره‌مندجوی (۱۳۹۰) و پنج‌تنی (۱۳۹۱) اشاره کرد.

برنس‌بای و دیویدسون در تحقیق خود ظرفیت باربری پی در کنار سطح شیب‌دار و تأثیر ثابت بودن پی بر عمل‌کرد آن را بررسی کرده و به این نتیجه رسیده‌اند که ظرفیت باربری پی در کنار سطح شیب‌دار علاوه بر خصوصیات خاک و فاصله پی از لبه شیب و زاویه شیب به ثابت بودن ساختار پی (عدم حرکت افقی و یا چرخشی)، هم بستگی دارد. نتایج به دست آمده از این تحقیق نشان داد که: با افزایش زاویه شیب ظرفیت باربری کاهش می‌آید. همچنین ظرفیت باربری پی در حالت آزاد کم‌تر از حالت گیرداری است که هرچه زاویه شیب بیشتر باشد، این اختلاف کم‌تر است.

بررسی آزمایشگاهی پنج‌تنی (۱۳۹۱)، بر روی یک شیب ماسه‌ای که یک پی مستطیلی در بالای آن قرار داده شده، انجام گرفته است و سپس روی آن بارگذاری شده و پارامترهایی مانند: تراکم نسبی خاک، فاصله لبه پی تا شیب و زاویه شیب بررسی شده است. نتایجی که در انجام این تحقیق به دست آمده است نشان می‌دهد که: با افزایش فاصله پی از لبه شیب ظرفیت باربری پی در تراکم و زاویه شیب‌های مختلف افزایش پیدا کرده و با توجه به نمودارهای حاصل، مشاهده شده است که وقتی فاصله پی از لبه شیب به سه برابر عرض پی (۳B) افزایش

---

۱. Yetimoglu      ۲. Chul Shin      ۳. Das      ۴. Yoo      ۵. Mostafa  
۶. Sawwaf      ۷. Bransby      ۸. Davidson      ۹. Choudhary

یابد، می‌توان از تأثیر شیب صرف‌نظر کرد و ظرفیت باربری پی را معادل پی قرار گرفته بر زمین مسطح بررسی کرد. هم‌چنین با افزایش تراکم نسبی خاک، ظرفیت باربری پی در زاویه شیب‌های مختلف افزایش پیدا کرده و روند این افزایش تقریباً خطی است. از طرف دیگر با افزایش زاویه شیب ظرفیت باربری مدل کاهش پیدا کرده و هرچه زاویه اصطکاک داخلی بیش‌تر باشد اثر زاویه شیب بر ظرفیت باربری بیش‌تر است و روند کاهش ظرفیت باربری با افزایش زاویه شیب در اکثر موارد وضعیت خطی دارد.

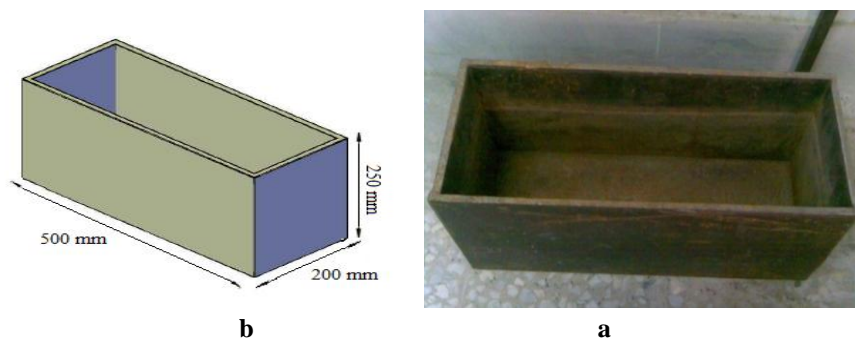
در تحقیق حاضر پژوهش‌هایی در زمینه بررسی عوامل مؤثر بر ظرفیت باربری پی‌های واقع بر روی شیب با استفاده از یک مدل آزمایشگاهی انجام شده و نتایج حاصل با نتایج مایروف (۱۹۶۳) مقایسه شده است. برای این منظور از خاک دانه‌ای با دانسیته نسبی ۵۰٪ استفاده شده و به‌ازای زاویه‌های شیب مختلف، ظرفیت باربری پی محاسبه شده است.

### نحوه انجام آزمایش

برای انجام آزمایش احتیاج به جعبه‌ای است که شیروانی خاکی در آن مدل گردد. بدین‌منظور چنان‌که در شکل ۲ نشان داده شده است، جعبه‌ای فولادی به‌ابعاد  $50 \times 20$  سانتی‌متر و به ارتفاع ۲۵ سانتی‌متر ساخته شده است. علت به‌کار نبردن جعبه‌ی طلقی شفاف که مکانیسم گسیختگی خاک آزمایش شده در آن مشاهده گردد، این است که برای رسیدن به تراکم ۵۰٪ در آزمایش‌ها، باید خاک در لایه‌های مختلف کوبیده شود، جعبه‌ی طلقی در هنگام کوبش خاک تغییر حجم داده و قادر به تحمل ضربه برای تراکم خاک نیست و از درزها شکننده است. از این رو، جعبه‌ی آزمایش از جنس فولاد ساخته شده و تمام درزهای آن با جوش الکتریکی محکم شده است تا در هنگام متراکم کردن خاک قادر به تحمل ضربه باشد. از عیب‌های جعبه‌ی فولادی، وزن زیاد آن و دیده نشدن مکانیسم گسیختگی خاک است.

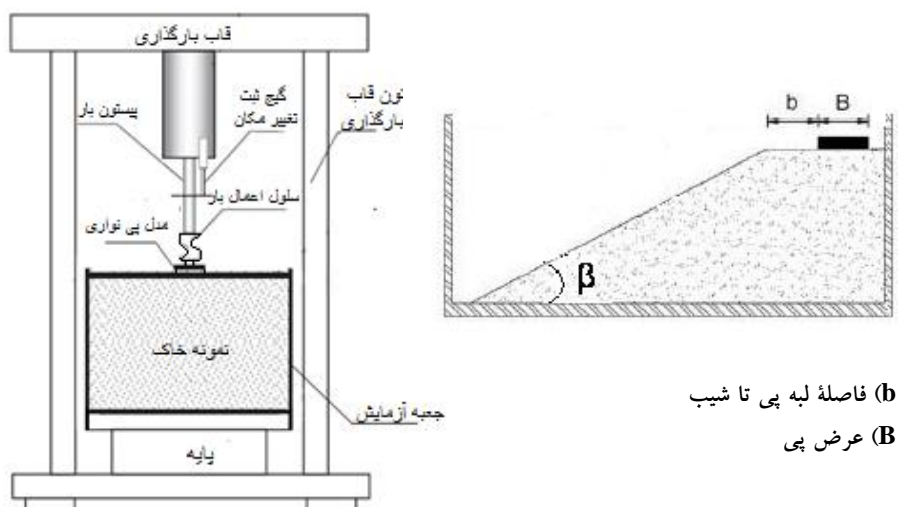
آزمایش‌ها در سه شیب مختلف با زاویه‌های ۳۰، ۴۵ و ۶۰ درجه انجام شده است. چنان‌که در شکل ۳ دیده می‌شود، بارگذاری با قاب بارگذاری دستگاه سه‌محوری بزرگ انجام گرفته است. سرعت بارگذاری ۱ میلی‌متر بر دقیقه است که این میزان با دستگاه قابل تنظیم است.

جابه‌جایی قائم نیز با یک گیج که روی دستگاه سه‌محوری نصب است اندازه‌گیری شده است و داده‌های به‌دست آمده از اعمال نیرو و تغییر مکان به‌صورت خودکار بر روی سیستم ضبط شده است.



شکل ۲. جعبه فولادی به‌کار رفته در آزمایش، (a) نمای واقعی، (b) شکل شماتیک مدل پی مستطیلی ساخته شده از جنس فولاد با ضخامت ۱۰ میلی‌متر و طول ۱۶۵ میلی‌متر و پهنای ۴۰ میلی‌متر است. مدل پی بر بالای شیب در فاصله‌های مختلف  $0.5B$ ،  $2B$  و  $3B$  آزمایش شده است.

در جدول ۱ تعداد و مشخصات نمونه‌های آزمایش شده در این تحقیق آورده شده است.



شکل ۳. شکل شماتیک دستگاه و جعبه آزمایش استفاده شده در این تحقیق

(b) فاصله لبه پی تا شیب  
(B) عرض پی

جدول ۱. مشخصات نمونه‌های آزمایش شده در این تحقیق

شماره نمونه	تراکم نسبی	زاویه شیب شیروانی (درجه)	فاصله لبه پی تا شیب
U1	% ۵۰	۳۰	۰/۵B
U2	% ۵۰	۳۰	B
U3	% ۵۰	۳۰	۲B
U4	% ۵۰	۴۵	۰/۵B
U5	% ۵۰	۴۵	B
U6	% ۵۰	۴۵	۲B
U7	% ۵۰	۴۵	۳B
U8	% ۵۰	۶۰	۰/۵B
U9	% ۵۰	۶۰	B
U10	% ۵۰	۶۰	۲B
U11	% ۵۰	۶۰	۳B
F1	% ۵۰	-	-

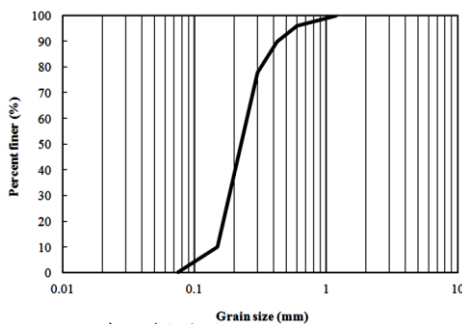
### مشخصات فیزیکی و مکانیکی خاک مورد آزمایش

ماسه استفاده شده در این تحقیق ماسه بابلسر است. این ماسه در آزمایشگاه مکانیک خاک دانشکده فنی و مهندسی دانشگاه خوارزمی و در جریان چند تحقیق دیگر نیز استفاده شده است. ماسه مذکور شکسته با دانه‌بندی یک‌نواخت در سواحل بابلسر است. منحنی دانه‌بندی ماسه بابلسر در شکل ۴ نشان داده شده است. یک‌نواختی دانه‌بندی خاک آزمایش شده این مزیت را دارد که می‌توان مدل‌های فیزیکی همگنی در هر آزمایش به‌دست آورد. آماده‌سازی شیب درون دستگاه با استفاده از سیستم کوبش خاک و در سه لایه ۵ سانتی‌متری صورت گرفته است.

زاویه اصطکاک داخلی خاک از مهم‌ترین پارامترهای تعیین‌کننده ظرفیت باربری است که در این تحقیق دقت خاصی بر تعیین این پارامتر صورت گرفته است. این پارامتر با آزمایش برش مستقیم در ابتدای کار تعیین شده است. زاویه اصطکاک داخلی چنان‌که در جدول ۲

مشخص است برای تراکم نسبی ۳۰ درصد، ۳۱ درجه و برای تراکم نسبی ۵۰ درصد، ۳۳ درجه و برای تراکم نسبی ۷۰ درصد، ۳۴ درجه به دست آمده است. در جدول ۳ نیز خصوصیات ماسه بابلسر آورده شده است.

لازم به ذکر است آزمایش‌های انجام گرفته در این تحقیق، در تراکم نسبی ۵۰٪ بوده است و برای رسیدن به این تراکم، خاک مدل باید در یک رطوبت بهینه کوبیده شود که این رطوبت بهینه با بررسی‌های آزمایشگاهی معادل ۱۰٪ به دست آمده است.



شکل ۴. منحنی توزیع دانه‌بندی ماسه بابلسر (حمیدی ۲۰۰۹)

جدول ۲. زاویه اصطکاک داخلی خاک آزمایش شده در تراکم‌های مختلف

تراکم نسبی (%)	۳۰	۵۰	۷۰
زاویه اصطکاک داخلی ( $\phi$ )	۳۱ <sup>o</sup>	۳۳ <sup>o</sup>	۳۴ <sup>o</sup>

جدول ۳. مشخصات ماسه بابلسر (حمیدی ۲۰۰۹)

Soil name	$G_s$	$e_{max}$	$e_{min}$	$\gamma_{d max} (kN/m^3)$	$\gamma_{d min} (kN/m^3)$	$C_u$	$C_c$
SP	۲/۷۴	۰/۷۵	۰/۵۰	۱۸/۳	۱۵/۷	۱/۷۵	۰/۸۹

### نتایج حاصل از بررسی‌های آزمایشگاهی

با مروری که بر تاریخچه تعیین ظرفیت باربری پی‌های مجاور شیب صورت گرفته است، مشخص شده است که هنوز بین محققان، در تعیین ضرایب ظرفیت باربری اختلاف نظر وجود دارد که علت آن هم همان فرضیات ساده کننده مختلف و روش‌های متفاوت برای محاسبه این ضرایب است. در این بین استفاده از روش‌های تجربی شامل ساخت مدل‌های واقعی و یا مدل‌های

کوچک مقیاس مناسب‌ترین راه برای بررسی صحت و میزان دقت نتایج روش‌ها و تئوری‌های ارائه شده است. روش ایده‌آل برای بررسی مسائل مهندسی پی شامل روش‌های آزمایشگاهی و مدل‌سازی با مقیاس واقعی است. با این حال این روش‌ها مشکلات عملی و اقتصادی خود را دارند. این مشکلات استفاده از این روش‌ها را محدود و کم می‌کند. برای رفع این مشکلات مدل‌های با مقیاس کوچک به‌عنوان جای‌گزین به‌کار گرفته می‌شود، که این مدل‌ها نیز محدودیت‌هایی مانند شرایط مرزی جعبه آزمایش، اندازه پی، دست‌خوردگی نمونه و تنظیم و راه‌اندازی دستگاه آزمایش را دارند.

در شکل ۵ نمونه‌ای از نتایج آزمایشگاه ارائه شده است. در این شکل تغییرات تنش بر حسب نشست برای شرایطی که زاویه شیب ۴۵ درجه و فاصله پی از لبه شیب بین ۰٫۵b تا ۳b بوده است، ارائه شده است. نظیر این نمودارها برای سایر نمونه‌ها نیز استخراج شده و در این تحقیق استفاده شده است.

#### ۱. بررسی اثر فاصله لبه پی تا شیب بر روی ظرفیت باربری

در شکل ۶ تغییرات ظرفیت باربری پی در برابر نسبت فاصله (b/B) برای سه شیب مختلف نمایش داده شده است. نتایج به‌دست آمده نشان می‌دهد که با افزایش فاصله پی از لبه شیب، ظرفیت باربری پی به‌صورت خطی افزایش می‌یابد. بررسی نتایج نشان می‌دهد که برای شیب ۶۰ درجه، وقتی فاصله پی تا لبه شیب از ۰٫۵B به ۳B افزایش می‌یابد ظرفیت باربری پی به‌میزان سه برابر افزایش می‌یابد. برای شیب‌های ۴۵ و ۳۰ درجه و با کاهش شیب همین افزایش مقدار کم‌تری خواهد داشت و به‌میزان ۲ تا ۳ برابر به‌دست خواهد آمد. حال بر اساس نتایج به‌دست آمده و ایجاد هم‌بستگی بین داده‌ها، می‌توان رابطه ظرفیت باربری را بدین صورت تعریف کرد:

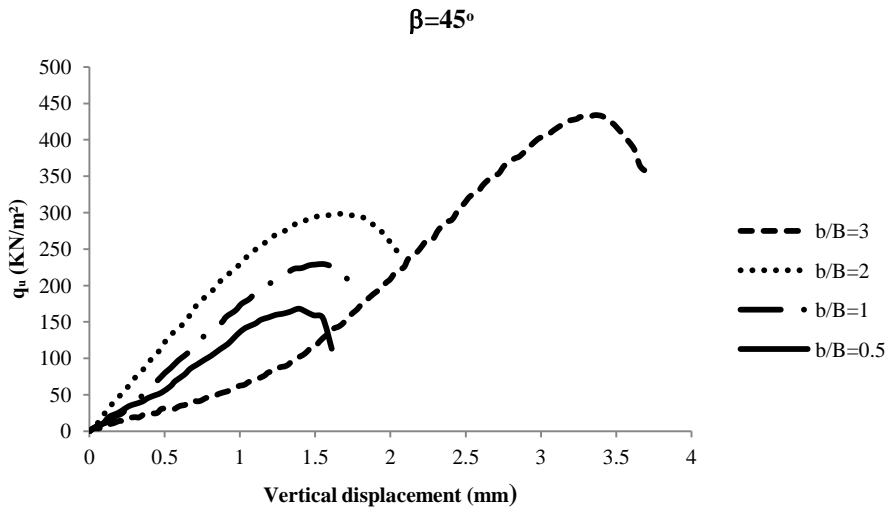
$$q_u = c_1 \left( \frac{b}{B} \right) + c_2 \quad (1)$$

برای به‌دست آوردن ثابت‌های  $c_1$  و  $c_2$  می‌توان از برازش خط بر نتایج شکل ۶ استفاده کرد.

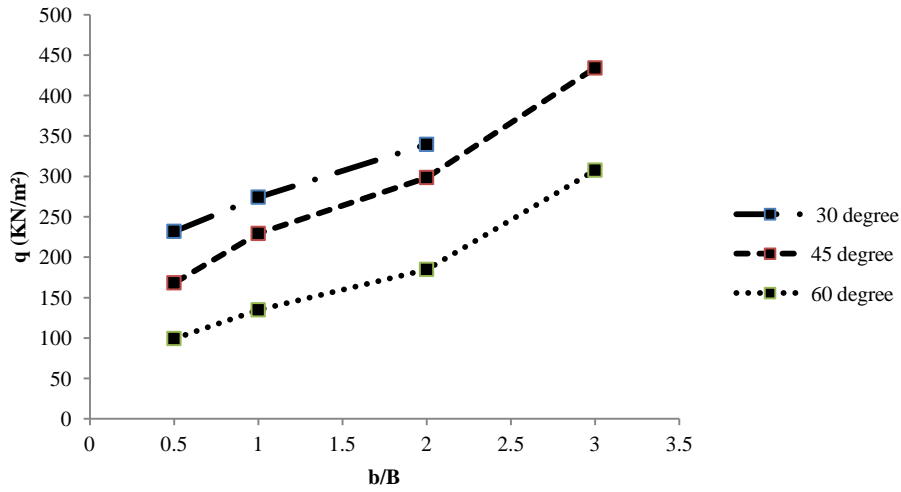
در این صورت داریم:

$$30^\circ \rightarrow q_u = 70/81 \left( \frac{b}{B} \right) + 199/25 \quad (2)$$





شکل ۵. نمودار تغییرات تنش در برابر نشست برای شیب با زاویه ۴۵ درجه



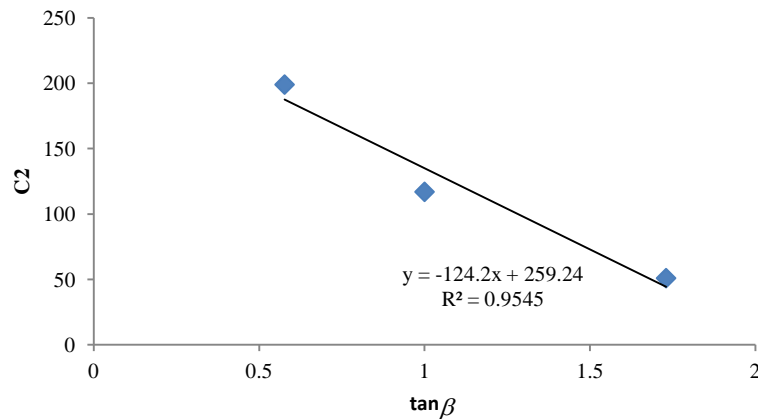
شکل ۶. تأثیر فاصله لبه پی تا شیب بر روی ظرفیت باربری به ازای زاویه‌های مختلف برای شیب

$$45^\circ \rightarrow q_u = 102/01 \left( \frac{b}{B} \right) + 116/74 \quad (3)$$

$$60^\circ \rightarrow q_u = 80/35 \left( \frac{b}{B} \right) + 51/05 \quad (4)$$

برای پارامتر  $c_1$ ، سه عدد  $۷۰/۸۱$ ،  $۱۰۲/۶۰۱$  و  $۸۰/۳۵$  به دست می‌آید که به‌طور میانگین و با توجه به این‌که در نمودار برای  $۳۰$  درجه فاصله  $۳$  برابر عرض پی وجود ندارد که خط برازش شده از آن بگذرد، می‌توان مقدار آن را معادل  $۱۰۰$  در نظر گرفت که این عدد برازش خوبی با نمودارها داشته است. همچنین مقدار پارامتر  $c_2$ ، نیز مانند شکل ۷ از برازش خط بین نقاط به دست آمده از  $c_2$ های مختلف سه معادله بالا و زاویه شیب به صورت معادله (۵)، که معادله یک خط است به دست می‌آید:

$$c_2 = -124/2 \tan \beta + 259/24 \quad (5)$$



شکل ۷. نحوه استخراج معادله (۵) برای تعیین ضریب  $c_2$  در رابطه (۱)

حال با جای‌گذاری  $c_1$  و  $c_2$  در رابطه ۱، که رابطه هم‌بستگی بین ظرفیت باربری و فاصله پی از شیب برای ماسه با خصوصیات این تحقیق و تحت دانسیته نسبی  $۵۰\%$  و شرایط اعمال شده است، می‌توان این رابطه را پیشنهاد کرد:

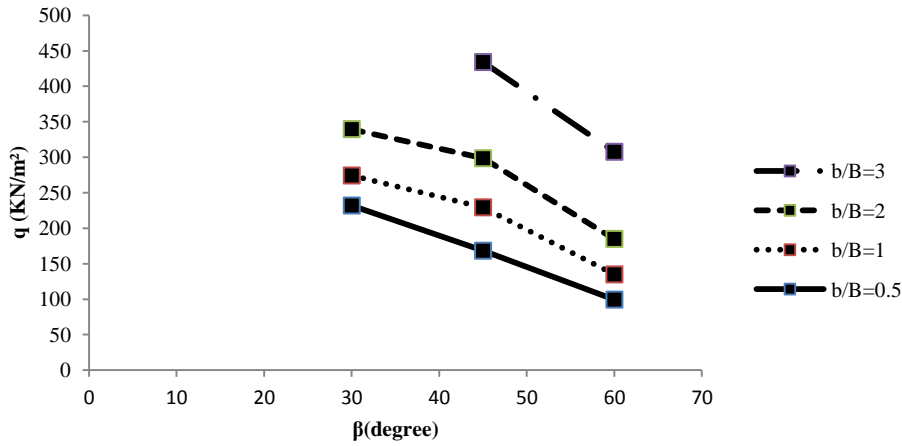
$$q_u = 259 + 100 \left( \frac{b}{B} \right) - 124 (\tan \beta) \quad (6)$$

در این رابطه  $q_u$  ظرفیت باربری پی در مجاورت شیب با زاویه  $\beta$  بر حسب کیلونیوتن بر متر مربع به دست می‌آید.

## ۲. بررسی اثر زاویه شیب با افق بر روی ظرفیت باربری

در شکل ۸ تغییرات ظرفیت باربری پی در برابر زاویه شیب به‌ازای فاصله‌های مختلف پی

از لبه شیب نشان داده شده است. نتایج به‌دست آمده حاکی از آن است که با افزایش زاویه شیب با محور افقی ظرفیت باربری با روند تقریباً خطی کاهش می‌یابد. به‌طوری‌که در تمامی موارد با افزایش زاویه از ۳۰ به ۶۰ درجه، ظرفیت باربری بیش از ۵۰ درصد کاهش یافته است.



شکل ۸. اثر زاویه شیب با افق بر روی ظرفیت باربری به‌ازای مقادیر مختلف b/B

### ۳. بررسی اثر شیب بر روی ضریب $N_\gamma$

در شکل ۹ محور قائم نشان‌دهنده پارامتر  $N'_\gamma/N_\gamma$  است، که ضریب ظرفیت باربری در حالت افقی و بدون شیب، و  $N'_\gamma$  ضریب ظرفیت باربری در حالت پی در مجاورت شیب است. چنان‌که مشاهده می‌شود با افزایش فاصله لبه پی تا شیب این پارامتر به یک نزدیک‌تر می‌شود که نشان‌دهنده کاهش اثر شیب است.

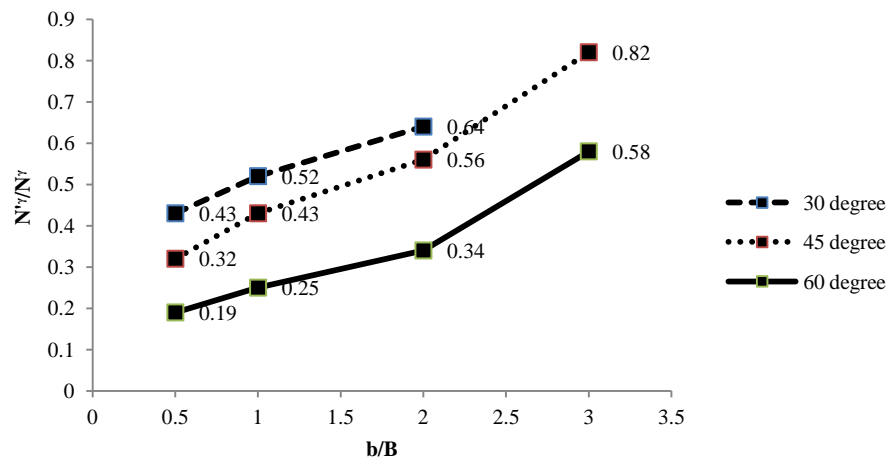
بر اساس نتایج به‌دست آمده و ایجاد هم‌بستگی بین داده‌ها، می‌توان نسبت  $N'_\gamma/N_\gamma$  را بدین‌صورت تعریف کرد:

$$\frac{N'_\gamma}{N_\gamma} = m \left( \frac{b}{B} \right) n \quad (7)$$

برای به‌دست آوردن ثابت‌های m و n می‌توان از برازش خط بر نتایج شکل ۹ استفاده کرد.

در این صورت داریم:

$$30^\circ \rightarrow \frac{N'_\gamma}{N_\gamma} = 0.137 \left( \frac{b}{B} \right) + 0.37 \quad (8)$$



شکل ۹. تأثیر شیب بر روی ضریب  $N'_\gamma$  به ازای زاویه‌های مختلف شیب

$$45^\circ \rightarrow \frac{N'_\gamma}{N_\gamma} = 0.192 \left( \frac{b}{B} \right) + 0.22 \quad (9)$$

$$60^\circ \rightarrow \frac{N'_\gamma}{N_\gamma} = 0.15 \left( \frac{b}{B} \right) + 0.09 \quad (10)$$

برای پارامتر  $m$  سه عدد  $0.137$ ،  $0.192$  و  $0.15$  به دست می‌آید که به طور میانگین می‌توان مقدار آن را معادل  $0.159$  در نظر گرفت. مقدار پارامتر  $n$  نیز مانند شکل ۱۰ از برازش خط بین نقاط به دست آمده از  $n$ های مختلف سه معادله بالا و زاویه شیب بر حسب رادیان به صورت معادله (۱۱)، که معادله یک خط است به دست می‌آید. در این رابطه  $\beta$  زاویه شیب بر حسب رادیان است.

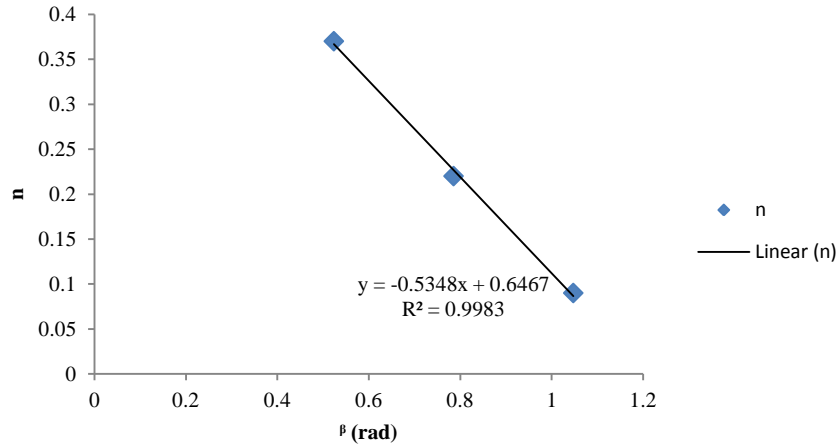
$$n = -0.535\beta + 0.64 \quad (11)$$

حال با جای گذاری  $n$  در رابطه (۷) داریم:

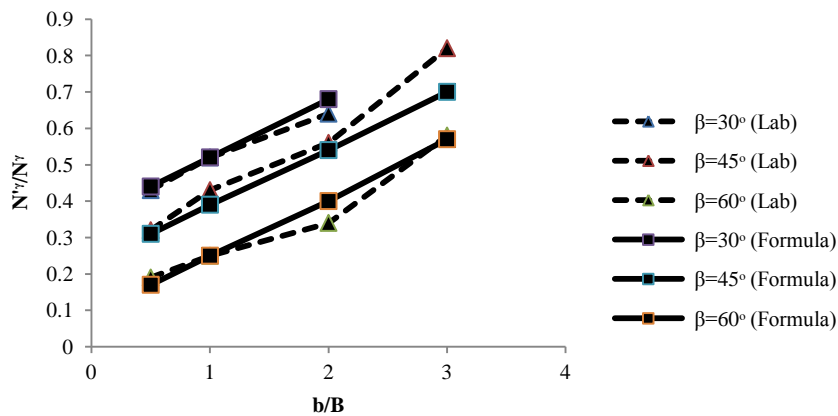
$$\frac{N'_\gamma}{N_\gamma} = 0.159 \left( \frac{b}{B} \right) + (-0.535\beta + 0.64) \quad (12)$$

این رابطه را برای سه زاویه  $60^\circ$ ،  $30^\circ$ ،  $45^\circ$  ترسیم کرده و گراف به دست آمده با نتایج آزمایشگاهی مقایسه می‌گردد. چنان‌که در شکل ۱۱ مشاهده می‌شود، انطباق خوبی بین نتایج ترسیم شده

وجود دارد که درصد خطا در بعضی نقاط حداکثر به ۱۲ درصد می‌رسد و در بعضی نقاط این درصد به صفر می‌رسد. که  $b$  فاصله لبه پی تا شیب،  $B$  عرض پی و  $\beta$  زاویه شیب با افق، و واحد آن رادیان است.



شکل ۱۰. نحوه استخراج معادله (۱۱) برای تعیین ضریب  $n$  در رابطه (۷)



شکل ۱۱. مقایسه نتایج آزمایشگاهی با نتایج حاصل از رابطه (۱۲)

### مقایسه رابطه پیشنهادی با رابطه مایرهوف

در جدول ۴ نتایج رابطه پیشنهادی برای تأثیر ضریب شیب بر ظرفیت باربری با رابطه مایرهف<sup>۱</sup> (۱۹۶۳) در شرایط این تحقیق ارائه شده است.

جدول ۴. مقایسه نتایج حاصل از رابطه پیشنهادی و مقادیر توصیه شده سایر محققان

Dr=۵۰% , $\phi=۳۳^{\circ}$				
		Mayerhof (1963)	Experimental data	Proposed Formula (Eq. (4))
$\beta=۳۰^{\circ}$	b/B=۰/۵	۰/۳	۰/۴۳	۰/۴۴
	b/B=۱	۰/۴۲	۰/۵۲	۰/۵۲
	b/B=۲	۰/۵۷	۰/۶۴	۰/۶۸

نتایج ارائه شده حاکی از آن است که رابطه پیشنهادی همواره نتایجی بیش‌تر از رابطه مایرهف (۱۹۶۳) به‌دست می‌دهد. به‌عبارت دیگر رابطه مذکور محافظه‌کارانه ارائه شده است.

### نتیجه‌گیری

در این بررسی چندین آزمایش بارگذاری بر لبه شیب انجام شده و نهایتاً پس از تحلیل نتایج حاصل، این دست‌آوردها برای این تحقیق به‌دست آمد:

- نتایج حاصل نشان می‌دهد که با افزایش فاصله پی از لبه شیب، ظرفیت باربری پی به‌صورت خطی افزایش یافته و این افزایش به‌میزان ۲ تا ۳ برابر خواهد بود.
- بین ظرفیت باربری و فاصله پی از لبه شیب برای این تحقیق می‌توان رابطه (۶) را پیشنهاد کرد:

$$q_u = 259 + 100 \left( \frac{b}{B} \right) - 124 (\tan \beta) \quad (6)$$

- با افزایش زاویه شیب با محور افقی ظرفیت باربری با روند تقریباً خطی کاهش می‌یابد. به‌طوری که با افزایش زاویه شیب از ۳۰ به ۶۰ درجه، ظرفیت باربری بیش از ۵۰ درصد کاهش یافته است.

۱. Mayerhof

۴. با افزایش فاصله لبه پی تا شیب ظرفیت باربری پی افزایش می‌یابد و برای بیان بهتر این موضوع از نسبت  $N'_\gamma/N_\gamma$  استفاده شده است. رابطه زیر که در شرایط این تحقیق به دست آمده است، رابطه بین  $N'_\gamma/N_\gamma$  و فاصله لبه پی تا شیب و زاویه شیب با افق را نشان می‌دهد:

$$\frac{N'_\gamma}{N_\gamma} = 0.159 \left( \frac{b}{B} \right) + (-0.535\beta + 0.64) \quad (12)$$

### منابع

1. Terzaghi K., "Theoretical Soil Mechanics", Wiley, New York (1943).
2. Meyerhof G. G., "The ultimate bearing capacity of foundations on slopes" Proc., 4<sup>th</sup> Int. Conf. on Soil Mech. and Found.Engng., London, Vol.1 (1957) 384-386.
3. Hansen J. B., "A revised and extended formula for bearing capacity", Danish Geotechnical Institute, Copenhagen, Denmark, Bulletin 28 (1970) 5-11.
4. Vesic A. S., "Analysis of ultimate loads of shallow foundations", J. Soil Mech. Found. Div., ASCE, Vol.99, SM1 (1973) 45-73.
5. Saran S., Sud V. K., Handa S. C., "Bearing capacity of footings adjacent to slopes", Journal of Geotechnical Engineering, ASCE, Vol.115 (1989) 553-573.
7. Yetimoglu T., Wu J., Saglamer A., "Bearing Capacity of Rectangular Footings on Geogrid-Reinforced Sand", J. Geotech. Engrg, Vol.120 (1994) 2083-2099.
8. Chul Shin E., Das B. M., "Ultimate bearing capacity of strip foundation on geogrid-reinforced clay slope", KSCE Journal of Civil Engineering, Vol.2 (1998) 481-488.

9. Yoo C., "Laboratory investigation of bearing capacity behaviour of strip footing on geogrid reinforced sand slope", *Geotextiles and Geomembranes*, Vol.19 (2001) 279-298.
10. El Sawwaf M., "Behaviour of strip footing on geogrid reinforced sand over a soft clay slope", *Geotextiles and Geomembranes*, Vol. 25 (2007) 50-60.
11. Bransby MF., Davidson C., "The effect of foundation fixity on their capacity adjacent to slopes", *Proceedings of the BGA International Conference on Foundations*, Dundee, Scotland (2008) IHS BRE Press.
12. Choudhary A. K., Jha J. N., Gill K. S., "Laboratory investigation of bearing capacity behavior of strip footing on reinforced flyash slope" *Geotextiles and Geomembranes*, Vol. 28 (2010) 393-402.
13. Alamshahi S., Hataf N., "Bearing capacity of strip footings on sand slopes reinforced with geogrid and grid anchors", *Geotextiles and Geomembranes*, Vol. 27 (2009) 217-226.
۱۴. بهره‌مندجوی آ.، بررسی ظرفیت باربری پی نواری در مجاورت شیب ماسه‌ای مسلح به روش آزمایشگاهی، همایش ملی عمران و توسعه پایدار (۱۳۸۹).
۱۵. پنج‌تنی م.، تعیین ظرفیت باربری پی‌ها روی سطح شیب‌دار با استفاده از روش آزمایشگاهی، پایان‌نامه کارشناسی ارشد مهندسی عمران گرایش خاک و پی، به راهنمایی دکتر علی قنبری، دانشکده مهندسی عمران، دانشگاه خوارزمی (۱۳۹۱).
16. Hamidi A., Yazdanjou V., Salimi S., N., "Shear strength characteristics of sand-gravel mixtures", *International Journal of Geotechnical Engineering*, Vol. 3 (2009) 29-38.